

УДК 612.741.61:612.261:612.27.2

С. А. Берштейн, Ю. Н. Онопчук, А. И. Соловьев

ДИНАМИКА КИСЛОРОДНОГО РЕЖИМА СОСУДИСТОЙ СТЕНКИ ПРИ ФУНКЦИОНАЛЬНОЙ ГИПЕРЕМИИ СКЕЛЕТНЫХ МЫШЦ И АРТЕРИАЛЬНОЙ ГИПОКСИИ

Вопрос о роли дефицита кислорода в регуляции сосудистого тонуса все еще остается спорным. Весьма противоречивы представления об участии этого фактора в формировании функциональной гиперемии — от признания ведущего значения [5, 15, 17] до практически полного его отрицания [7, 9, 10, 16, 18]. Один из аргументов сторонников последней точки зрения сводится к тому, что при рабочей гиперемии гладкие мышцы прекапиллярных сосудов оказываются на пути форсированного массопереноса кислорода и, в связи с этим, условия их снабжения кислородом должны становиться более благоприятными [13]. Первая часть этого положения сомнений, по-видимому, не вызывает. Однако, действительно ли при этом улучшается снабжение сосудистых гладких мышц кислородом — не ясно. Многое зависит от того, насколько усиленный поток кислорода через стенку сосуда способен сочетаться с ростом его утилизации гладкими мышцами. Экспериментальных данных по этому поводу нет.

Проблема могла бы быть решена путем прямых измерений параметров, характеризующих кислородный режим стенки резистивных сосудов работающих мышц, но, к сожалению, в настоящее время это практически невыполнимо. В этой связи для получения такого рода информации мы сочли целесообразным обратиться к исследованиям на имитационной математической модели с сосредоточенными параметрами. На этой модели исследовали также изменения кислородного режима сосудистой стенки при артериальной гипоксемии, которая часто используется для выяснения роли дефицита кислорода в регуляции сосудистого тонуса.

Основой математической модели, предназначеннной для изучения динамики массопереноса газов, в том числе и газообмена между кровью и тканями, служит система обычных дифференциальных уравнений, дополненная алгебраическими соотношениями, которые описывают причинно-следственные связи параметров, характеризующих изучаемые процессы [8, 11]. Для исследования динамики кислородного режима сосудистой стенки при изменениях условий жизнедеятельности потребовалось расширить ранее предложенную модель, введя между артериальной кровью и тканью дополнительный элемент — стенку сосуда.

При построении такой модели предполагалось:

— что исследуемая система может быть представлена в виде цилиндрического тканевого резервуара объемом V_t , с расположенным внутри него «обобщенным» кровеносным сосудом, объем гладких мышц стенки которого равен V_{cc} , а объем вмещающей им крови — V_k (рис. 1);

— что для имитации изменений кислородного режима вдоль стенки «обобщенного» сосуда (от его артериальной зоны до венозной) тканевой резервуар может быть условно разбит плоскостями на некоторое число ($1, 2, \dots, K$) слоев j , причем P_{O_2} в любой точке рассматриваемого слоя как и в любой точке стенки сосуда на участке, входящем в этот слой, соответственно равны.

С учетом сделанных в системе артериальная быть представлена в вид

$$\frac{dP_{KO_2}}{dt} = \frac{1}{\alpha V_k^j} [\alpha \cdot Q]$$

$$\frac{dP_{CO_2}^j}{dt} = -$$

$$\frac{dP_{TO_2}^j}{dt} = -$$

где $P_{KO_2}^{j-1}$ и $P_{KO_2}^j$ — напряжение кислородом в пр G_1 — поток кислорода из тканевой резервуар; q_1 — с ного» сосуда и q_2 — ткане

При этом $G_1 + G_2 = 0$

и

где S — площадь поверхности

На основе описанной последовательность изменения и напряжения кислород

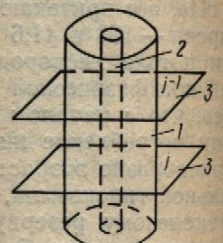


Рис. 1. Модель ци

1 — мышечная ткань; 2 — тканевый резервуар; 3 — ци

Рис. 2. Динамика потока O_2 в тканевом резервуаре

По вертикали — P_{O_2} в сосудистой стенке; горизонтально — физическая нагрузка. Степень кислородации

В покое исследуемая следовательно, правые час нулю, в том числе и $\frac{dP_{CO_2}}{dt} = 0$. $G_1 = q_1$ и $G_2 = q_2$ для кислорода в этих условиях соотв цами, так и сосудистой ст

С учетом сделанных допущений математическая модель газообмена в системе артериальная кровь — сосудистая стенка — ткань может быть представлена в виде:

$$\frac{dP_{\text{ко}_2}^j}{dt} = \frac{1}{\alpha V_k^j} \left[\alpha \cdot Q \cdot (P_{\text{ко}_2}^{j-1} - P_{\text{ко}_2}^j) + Hb \cdot \gamma_{Hb} \cdot Q \cdot (\eta_k^{j-1} - \eta_k^j) - G^j + Hb \cdot \gamma_{Hb} \cdot V_k^j \frac{d\eta_k^j}{dt} \right]; \quad (1)$$

$$\frac{dP_{\text{ccO}_2}^j}{dt} = \frac{1}{\alpha \cdot V_{\text{cc}}^j} \left[G_1^j - q_1 + M b_1 \cdot \gamma_{M b} \cdot V_{\text{cc}}^j \frac{d\eta_{\text{cc}}^j}{dt} \right]; \quad (2)$$

$$\frac{dP_{\text{то}_2}^j}{dt} = \frac{1}{\alpha \cdot V_t^j} \left[G_2^j - q_2 + M b_2 \cdot \gamma_{M b} \cdot V_t^j \frac{d\eta_t^j}{dt} \right]; \quad (3)$$

где $P_{\text{ко}_2}^{j-1}$ и $P_{\text{ко}_2}^j$ — напряжение кислорода, а η_k^{j-1} и η_k^j — насыщение гемоглобина кислородом в притекающей и оттекающей крови соответственно; G_1 — поток кислорода из крови в сосудистую стенку и G_2 — из крови в тканевый резервуар; q_1 — скорость утилизации кислорода стенкой «обобщенного» сосуда и q_2 — тканевым резервуаром.

При этом $G_1^j + G_2^j = G^j$, где G^j — суммарный поток кислорода из крови, а

$$G_1 = k \cdot n \cdot S (P_{\text{ко}_2} - P_{\text{ccO}_2}) \quad (4)$$

и

$$G_2 = k \cdot n \cdot S (P_{\text{ко}_2} - P_{\text{то}_2}), \quad (5)$$

где S — площадь поверхности, через которую осуществляется газообмен.

На основе описанной модели (1—5) рассмотрим возможную последовательность изменений потока кислорода к сосудистой стенке (G_1) и напряжения кислорода в ней (P_{ccO_2}) при физической нагрузке.

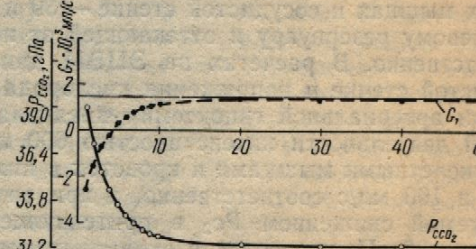
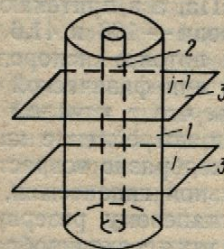


Рис. 1. Модель цилиндрического тканевого резервуара (схема).

1 — мышечная ткань; 2 — «обобщенный» кровеносный сосуд; 3 — секущая плоскость.

Рис. 2. Динамика потока O_2 (черные кружки) и P_{O_2} (белые кружки) в сосудистой стенке при физической нагрузке.

По вертикали — P_{O_2} в сосудистой стенке (P_{ccO_2}) и поток $O_2 (G_1)$; по горизонтали — продолжительность физической нагрузки. Сплошная горизонтальная линия соответствует уровню потребления кислорода гладкими мышцами сосудистой стенки.

В покое исследуемая система находится в стационарном состоянии и, следовательно, правые части дифференциальных уравнений (1—3) равны нулю, в том числе и $\frac{d\eta}{dt} = 0$. При этом из уравнений (1—3) следует, что $G_1^j = q_1^j$ и $G_2^j = q_2^j$ для любого из рассматриваемых j , т. е. доставка кислорода в этих условиях соответствует его потреблению как скелетными мышцами, так и сосудистой стенкой.

Пусть в момент времени t_0 исследуемая система скачкообразно изменит интенсивность своей функции в связи с началом мышечной деятельности. В этих условиях возрастает скорость утилизации кислорода скелетными мышцами (q_2), и по этой причине в них нарушается баланс между доставкой и потреблением кислорода ($G_2 < q_2$). При этом, как следует из уравнения (3), снижается P_{O_2} в тканевом резервуаре, что в соответствии с уравнением (5) должно привести к росту потока кислорода к скелетным мышцам с последующим (по уравнению (1) неизбежным падением P_{O_2} в крови. Последнее, в свою очередь, приводит к уменьшению потока кислорода к сосудистой стенке, следующему из уравнения (4), и в результате (см. уравнение (2) в ней также нарушается баланс между доставкой и потреблением кислорода ($G_1 < q_1$).

Согласно основанной на критерии соответствия между доставкой и потреблением кислорода математической модели [11, 12] и полученным нами экспериментальным данным [1—4, 6], дефицит кислорода должен привести к росту кровотока в функционирующей ткани. Вследствие этого наступит усиление потока кислорода к тканевому резервуару и сосудистой стенке и восстановление в них ранее нарушенного кислородного баланса. Вновь устанавливающееся в этих условиях стационарное состояние, как правило, характеризуется более низкими, чем в покое, уровнями напряжения кислорода в тканевом резервуаре и сосудистой стенке.

Приступая к экспериментам на описанной модели (1—5), мы, основываясь на известных данных [14], исходили из того, что общая масса скелетных мышц составляет $35 \cdot 10^3$ г, а масса гладких мышц включенных в них сосудов — 80 г. К тому же принималось, что в покое суммарное потребление кислорода скелетными и сосудистыми гладкими мышцами равно $1,41$ и $1,4 \cdot 10^{-3}$ мл/с соответственно; кровоток в скелетных мышцах равен 19,37 мл/с; напряжение кислорода в скелетных мышцах и сосудистой стенке — 39 и 41,5 гПа, а в притекающей к тканевому резервуару и оттекающей от него крови — 108 и 41,6 гПа соответственно. В расчетах на ЭЦВМ динамики потока кислорода к сосудистой стенке и напряжения кислорода в ней при физической нагрузке и артериальной гипоксемии предполагалось, что с началом мышечной деятельности интенсивностью 600 кгм/мин потребление кислорода скелетными мышцами и кровоток в них скачкообразно возрастают до 25 и 190 мл/с соответственно, а при артериальной гипоксемии, моделируемой снижением P_{O_2} в притекающей к тканевому резервуару крови до 39 гПа, кровоток в скелетных мышцах также скачкообразно повышается до 50 мл/с. При этом обуславливается, что потребление кислорода стенкой «обобщенного» сосуда как в одном, так и в другом случаях поддерживается неизменным.

Полученные данные указывают на то, что с первой же секунды мышечной деятельности значения потока кислорода к стенке «обобщенного» сосуда становятся отрицательными (рис. 2), т. е. происходит диффузия кислорода из сосудистой стенки в тканевой резервуар и, следовательно, приток кислорода к сосудистой стенке не усиливается, а, напротив, она теряет кислород. Эта ситуация, несмотря на сопутствующее краткое снижение скорости диффузии кислорода из сосудистой стенки, длится примерно до 5 с. Затем она сменяется постепенно возрастающим притоком кислорода к сосудистой стенке, благодаря чему примерно к 30 с мышечной деятельности в ней практически восстанавливается соответствие доставки кислорода уровню его потребления. Такая динамика снабжения кислородом сосудистой стенки находит

вое отражение в вы-
физической нагрузки
жается с 39 до 33,8 г
ния кислорода в ней
деятельности стабили-
начале физической на-
сосудистой стенки ок-
щий в связи с этим де-
примерно к 30 с мыш-
щееся к этому времен-
низким уровнем P_{O_2}
«обобщенного» сосуда

Рис. 3. Динамика потока кислорода к сосудистой стенке при артериальной гипоксемии.

Обозначения см. рис.

Результаты иссле-
дистых гладких мыш-
том, что по истечении
к сосудистой стенке ре-
динамики ее снабже-
ния потока кислорода в-
ятся. Сочетающееся с
способствует последу-
ки кислорода к сосудисто-
более длительным, че-
ливидируется лишь в
условий снабжения ки-
монотонное снижение
восстановления в сосу-
потреблением кислоро-
при физической нагру-
стоянию соответствует

Представленные ре-
ровать, что при мыш-
динамика кислородных
чается. Не исключено,
что полно воспроизве-
ных мышц путем их пе-

1. Усиление диффу-
в переходном периоде
способствует росту при-
а, напротив, условия и-
ются.

2. Установленные
ки мышц сосудистой
артериальной гипоксемии и
реакциях при гипоксемии
формировании рабочей

система скачкообразно и с началом мышечной деятельности утилизации кислородом в них нарушается равновесие ($G_2 < q_2$). При этом P_{O_2} в тканевом резервуаре должно привести к росту потребления (по уравнению 6). Последнее, в свою очередь, приводит к доставке кислорода к сосудистой стенке в результате (см. уравнение 6) доставкой и потреблением

доставки между доставкой кислорода [11, 12] и полученным дефицитом кислорода, нарушающей ткань. Вследствие этого к тканевому резервуару, ранее нарушенного в этих условиях, стабилизируется более низкими, чем в тканевом резервуаре и

модели (1—5), мы, освободив из того, что общая масса гладких мышц принималось, что в посттканевом и сосудистом соответственно; кровоток кислорода в скелетных мышцах — 5 г/мин, а в притекающей крови — 108 и 41,6 г/мин потока кислорода к ней при физической нагрузке, что с началом мышечной деятельности и потребление кислорода скачкообразно возрастают при артериальной гипоксемии, макроцистину тканевому резервуару также скачкообразно возрастают, что потребление кислорода в одном, так и в другом

с первой же секунды доставки к стенке «обобщенного» (рис. 2), т. е. происходит скачкообразное увеличение тканевого резервуара и, несмотря на сопутствующее выделение кислорода из сосудистой стенки, благодаря чему практически восстановлено его потребление. Сосудистая стенка находится

Динамика кислородного режима

своё отражение в выраженном снижении в ней P_{O_2} . За первые 4—5 с физической нагрузки напряжение кислорода в сосудистой стенке снижается с 39 до 33,8 гПа. В последующем скорость снижения напряжения кислорода в ней постепенно уменьшается и на 30 с мышечной деятельности стабилизируется на уровне 31,2 гПа. Таким образом, в начале физической нагрузки доставка кислорода к гладким мышцам сосудистой стенки оказывается существенно ограниченной. Возникающий в связи с этим дефицит кислорода в сосудистой стенке устраняется примерно к 30 с мышечной деятельности. Причем вновь устанавливющееся к этому времени стационарное состояние характеризуется более низким уровнем P_{O_2} в стенке «обобщенного» сосуда.

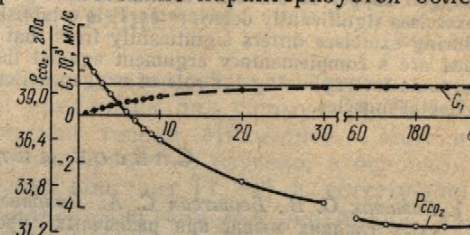


Рис. 3. Динамика потока O_2 и P_{O_2} в сосудистой стенке при артериальной гипоксемии.

Обозначения см. рис. 2.

Результаты исследований на модели кислородного режима сосудистых гладких мышц при артериальной гипоксемии свидетельствуют о том, что по истечении 1 с гипоксемии интенсивность притока кислорода к сосудистой стенке резко снижается (рис. 3). Однако, в отличие от динамики ее снабжения кислородом при физической нагрузке, значения потока кислорода к сосудистой стенке отрицательными не становятся. Сочетающееся с гипоксемией существенное увеличение кровотока способствует последующему постепенному восстановлению доставки кислорода к сосудистой стенке. Этот процесс оказывается значительно более длительным, чем при физической нагрузке. Дефицит кислорода ликвидируется лишь к исходу 2—3 мин гипоксемии. С изменениями условий снабжения кислородом стенки «обобщенного» сосуда связано монотонное снижение в ней напряжения кислорода. К моменту восстановления в сосудистой стенке соответствия между доставкой и потреблением кислорода значения P_{O_2} в ней стабилизируются. Как и при физической нагрузке, установившемуся вновь стационарному состоянию соответствует более низкий уровень напряжения кислорода.

Представленные результаты позволяют, таким образом, констатировать, что при мышечной деятельности и артериальной гипоксемии динамика кислородных режимов сосудистой стенки существенно отличается. Не исключено, что именно по этой причине не удается достаточно полно воспроизвести динамику функциональной гиперемии скелетных мышц путем их перфузии кровью со сниженным P_{O_2} .

Выводы

- Усиление диффузии кислорода из крови к скелетным мышцам в переходном периоде от покоя к мышечной деятельности не только не способствует росту притока кислорода к сосудистым гладким мышцам, а, напротив, условия их снабжения кислородом существенно ухудшаются.

- Установленные отличия динамики кислородных режимов гладких мышц сосудистой стенки при мышечной деятельности и при артериальной гипоксемии не позволяют использовать данные о сосудистых реакциях при гипоксемии для трактовки роли дефицита кислорода в формировании рабочей гиперемии скелетных мышц.

S. A. Bershtein, Yu. N. Oporchuk, A. I. Soloviev
 DYNAMICS OF VASCULAR WALL OXYGEN REGIME UNDER
 FUNCTIONAL HYPEREMIA OF SKELETAL
 MUSCLES AND ARTERIAL HYPOXEMIA

Summary

Experiments on a simulation mathematical model with concentrated parameters shown that intensification of O_2 diffusion from blood to skeletal muscles accompanied by exercises never promotes an increase in oxygen income to smooth vascular muscles. Moreover, oxygen supply to smooth vascular muscles during the transitional period from rest to exercises significantly deteriorates. It is established that the oxygen regime of vascular wall during exercises differs significantly from that under arterial hypoxemia. The data obtained are a complementary argument against the use of data on vascular reactions under hypoxia for explaining the role of oxygen deficiency in formation of exercise hyperemia in skeletal muscles.

Список литературы

- Базилюк О. В., Берштейн С. А., Соловьев А. И. Изменения реактивности сосудистых гладких мышц при различных уровнях оксигенации перфузата.—Физиол. журн., 1980, 26, № 1, с. 27—32.
- Берштейн С. А. Влияние изменений напряжения кислорода на электрические и сократительные свойства гладких мышц сосудов.—Докл. АН СССР, 1969, 189, № 3, с. 670—673.
- Берштейн С. А. О механизмах гемодинамических реакций на изменения кислородного баланса организма: Автореф. дис. ... д-ра мед. наук. Киев, 1973. 36 с.
- Берштейн С. А., Соловьев А. И., Базилюк О. В. Сократительные эффекты симпатической стимуляции сосудистых гладких мышц при разных уровнях оксигенации перфузата.—Докл. АН СССР, 1980, 250, № 2, с. 491—493.
- Гуревич М. И., Берштейн С. А. Про регуляцию гемодинамики за дефицитом кисню в крові і тканинах.—Фізіол. журн., 1977, 23, № 2, с. 259—265.
- (Гуревич М. И., Берштейн С. А., Соловьев А. И.) Gurevich M. I., Bershteyn S. A., Soloviev A. I. Dependence of sympathetic stimulation of vascular smooth muscles effects on P_{O_2} level of perfusate. — In: Physiology and pharmacology of smooth muscle: Abstracts of papers. Sofia, 1979, p. 35.
- Кан В. Н., Левтov B. A. Влияние артериальной и венозной окклюзии на гемодинамику и потребление кислорода в скелетной мышце.—Физиол. журн. СССР, 1970, 56, № 4, с. 618—624.
- Колчинская А. З., Пшеничный Б. Н., Милюра А. Г. и др. Моделирование динамики массопереноса газов в организме человека.—Кибернетика и вычислительная техника. Серия Медицинская кибернетика. 1978, вып. 41, с. 54—61.
- Конради Г. П. Регуляция сосудистого тонуса. Л.: Наука, 1973. 325 с.
- Левтov B. A. Химическая регуляция местного кровообращения. Л.: Наука, 1967. 198 с.
- Онопчук Ю. Н. Об одной имитационной модели для исследования сложных физиологических процессов.—Кибернетика, 1979, № 3, с. 66—72.
- Онопчук Ю. Н., Марченко Д. И. Об одной особенности переходных процессов в системах регионарного кровообращения.—В кн.: Теория оптимальных решений. Киев, 1980, с. 32—38.
- Хаютик В. М. Функциональная гиперемия скелетных мышц.—Итоги науки и техники. Серия Физиология человека и животных. 1979, 23, с. 46—106.
- Человек. Медико-биологические данные (Публикация № 23 Международной комиссии по радиологической защите). М.: Медицина, 1977. 496 с.
- Barcroft H. An enquiry into the nature of the mediator of the vasodilatation in skeletal muscle in exercise and during circulatory arrest.—J. Physiol., 1972, 222, N 2, p. 99—118.
- Bond R. F., Blachard R. F., Taxis J. A. Evidence against oxygen being the primary factor governing autoregulation.—Amer. J. Physiol., 1969, 216, N 4, p. 788—793.
- Carrier O., Walker J. R., Guyton A. C. Role of oxygen in autoregulation of blood flow in isolated vessels.—Amer. J. Physiol., 1964, 206, N 5, p. 951—954.
- Stainsby W. N., Otis A. B. Blood flow, blood oxygen tension, oxygen uptake and oxygen transport in skeletal muscle.—Amer. J. Physiol., 1964, 206, N 4, p. 858—866.

Отдел физиологии и кровообращения
 Института физиологии им. А. А. Богомольца
 АН УССР, Киев

Поступила в редакцию
 15.IX 1980 г.

КИНЕТИЧЕСКИ
 АДРЕНАЛИНА,
 С АДРЕНОРЕЦЕПТОРЫ
 КРУГА

Несмотря на то, что существуют с сосудистыми реагентами в основе которых лежит влияние ряда катехоламинов качественно, без расчета без проведения сравнительного и большого круга. Адренорецепторов малого подобный анализ мог бы. На наш взгляд, применение недостаточной адекватности. Поэтому цель данной работы адекватного метода вычислительную оценку влияния изопропилнорадреналина кругов кровообращения.

В острых опытах на семи под нембуталовым наркозом (Этиалина и изадрина на давление денные в бедренную артерию, артериальное давление и давление в легочной артерии на регистраторе физиографа-068) опыте по 8—10 раз в дозах от 0 кинетические константы R_m и K_m с сосудистыми рецепторами пропорциональны:

$$y = \frac{R_m}{K_m}$$

где y — реакция давления на максимальную возможную реакцию в русле; K_m — кажущаяся константа рецептором. Кроме того, определено, что K_m входит в формулу (2) во 2-й член Михаэлиса — Ментен дает величину разницы между давлением до

Для расчета кинетических машинных метод аппроксимации имеет преобразования исходной формулы. Это свойство метода позволяет получить значения констант, т. е. фактически найти истинные K_m проводили с точностью не менее 10%, батывали по критерию знаков и изучали варианты по специальным та-